

Analyse der Lichtstreuung zur Textur-Optimierung von Zinkoxid-Frontkontakte für Silizium-Dünnschichtsolarzellen

Gabrielle Christina Elisabeth Jost

Forschungszentrum Jülich GmbH
Institut für Energie- und Klimaforschung
IEK-5 Photovoltaik

Analyse der Lichtstreuung zur Textur- Optimierung von Zinkoxid-Frontkontakte für Silizium-Dünnschichtsolarzellen

Gabrielle Christina Elisabeth Jost

Schriften des Forschungszentrums Jülich
Reihe Energie & Umwelt / Energy & Environment

Band / Volume 223

ISSN 1866-1793

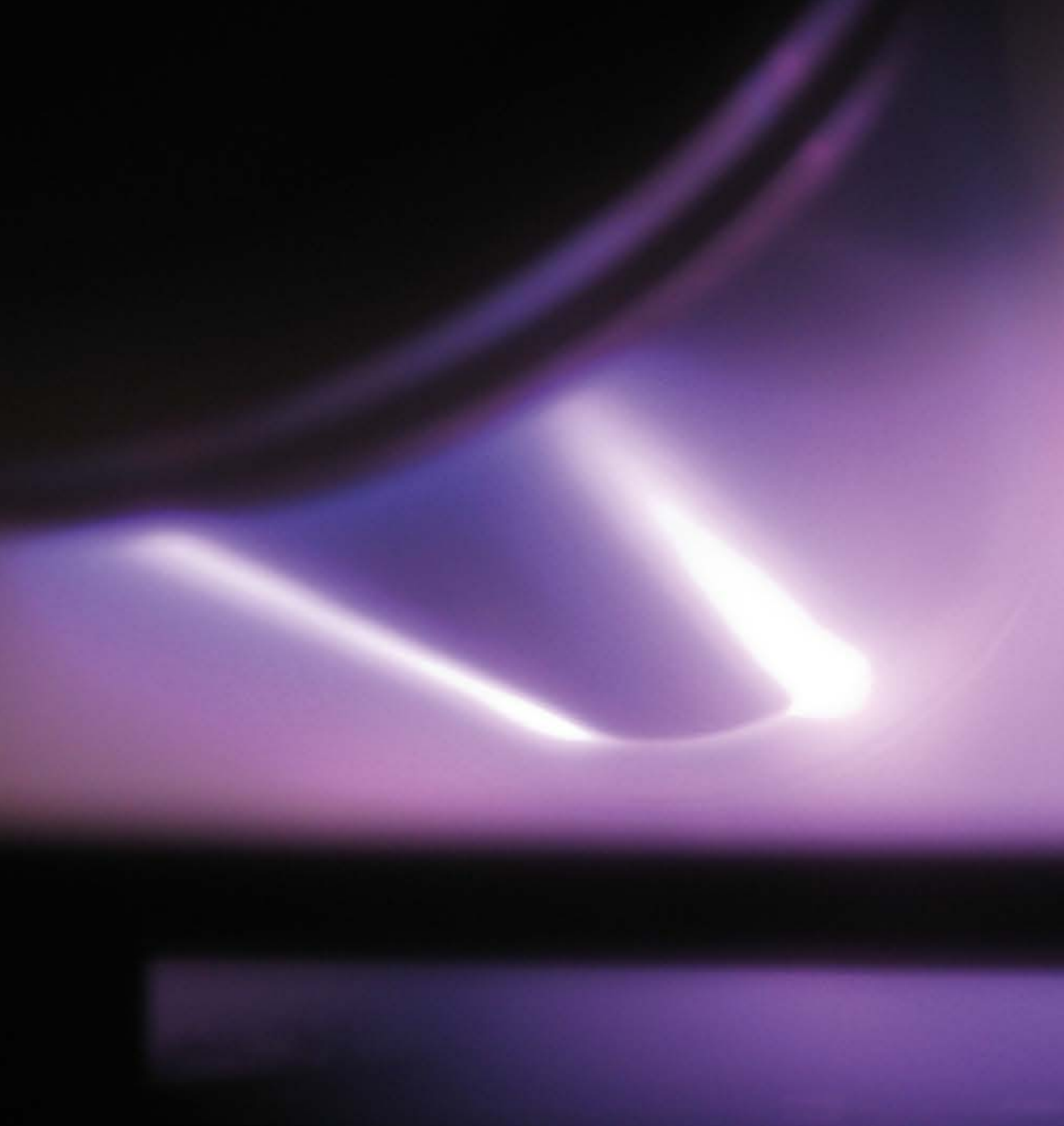
ISBN 978-3-89336-978-2

Inhaltsverzeichnis

1	Einleitung	1
2	Physikalische und technologische Grundlagen	7
2.1	Solarzellen.....	7
2.1.1	Funktionsweise und Kenngrößen	7
2.1.2	Unterschiedliche Zellendesigns.....	9
2.1.3	Besonderheiten von Dünnschichtsolarzellen.....	12
2.2	Transparente und leitfähige Zinkoxid-Schichten	14
2.2.1	Materialeigenschaften und Kristallstruktur	14
2.2.2	Elektrische Eigenschaften	15
2.2.3	Optische Eigenschaften	18
2.3	Kathodenerstäubung als Depositionstechnologie	21
2.3.1	Grundlagen des Kathodenerstäubens.....	21
2.3.2	Magnetron-unterstütztes Kathodenerstäuben	23
2.3.3	Unterschiedliche Anregungsarten	24
2.3.4	Reaktives Sputtern.....	25
2.4	Wachstummodelle für dünne Schichten.....	27
2.4.1	Thornton-Modell für dünne Metallfilme	28
2.4.2	Modifiziertes Thornton-Modell für Zinkoxid.....	29
2.4.3	Erweiterung des modifizierten Thornton Modells.....	30
2.5	Ätzmodelle für ZnO:Al	32
2.5.1	Grundlagen zum Ätzen von Zinkoxid mit Säuren.....	33
2.5.2	Ätzen von Zinkoxid-Einkristallen	33
2.5.3	Ätzen von polykristallinem Zinkoxid.....	34
2.6	Optische Modelle der Lichtstreuung	36
2.6.1	Strahlenoptik-Modell.....	36
2.6.2	Gitter-Modell.....	38
2.6.3	Phasen-Modell.....	39
2.7	SiO _x N _y -Zwischenschichten	39
2.7.1	Optische Eigenschaften	40
2.7.2	Barrienen-Eigenschaften	41
2.7.3	Wachstum-Eigenschaften	42
3	Experimentelles	43
3.1	Präparation der Frontkontakte, Zwischenschichten und Rückkontakte	43
3.1.1	Großflächige Kathodenerstäubung	43
3.1.2	Experimentelle kleinflächige Kathodenerstäubung.....	47

3.1.3	Texturierung mittels nasschemischem Ätzprozess.....	48
3.2	Präparation der Solarzellen	48
3.2.1	Siliziumdeposition in verschiedenen großflächigen Anlagen	48
3.2.2	Rückkontaktdeposition und Kontaktierung.....	49
3.3	Charakterisierung der Frontkontakte Schichten.....	50
3.3.1	Elektrische Eigenschaften	51
3.3.2	Optische Eigenschaften	52
3.3.3	Textureigenschaften	54
3.3.4	Winkelauflöste Streulichtmessungen.....	58
3.3.5	Röntgenbeugung.....	62
3.3.6	Schichtdickenbestimmung.....	63
3.4	Charakterisierung von Solarzellen	64
3.4.1	Strom-Spannungskennlinie.....	64
3.4.2	Externe Quanteneffizienzmessungen	65
4	Entwicklung einer gesputterten SiO_xN_y -Zwischenschicht	67
4.1	Brechungsindexanpassung	68
4.1.1	Einfluss des Sauerstoff-zu-Stickstoff-Verhältnisses	68
4.1.2	Theoretischer Transmissionsgewinn	72
4.1.3	Zusammenfassung	76
4.2	Wachstumseigenschaften von ZnO:Al auf der SiO_xN_y -Zwischenschicht	76
4.2.1	Elektrische Eigenschaften des ZnO:Al.....	77
4.2.2	Textureigenschaften des ZnO:Al.....	81
4.2.3	Zusammenfassung	88
4.3	Barriereeigenschaften der SiO_xN_y -Zwischenschicht	89
4.3.1	Vergleich mit und ohne Barriereschicht.....	89
4.3.2	Stöchiometrieabhängigkeit der Barrierewirkung.....	91
4.3.3	Zusammenfassung	92
5	Hochraten-Frontkontakt-Entwicklung auf Floatglas.....	95
5.1	Druck- und Temperaturserien	95
5.1.1	Elektrische Eigenschaften	96
5.1.2	Optische Eigenschaften	98
5.1.3	Oberflächentextur	103
5.1.4	Zusammenfassung	109
5.2	Entwicklung einer optimierten Textur für a-Si:H/ μ -c-Si:H-Tandemsolarzellen	110
5.2.1	Variationsmöglichkeiten von Einfachtexturen	110
5.2.2	Doppelte Texturierung	121
5.2.3	Zusammenfassung	124

6	Vorätsanalyse der Oberflächenstruktur	125
6.1	Oberflächencharakterisierung mittels AFM und REM	125
6.2	Oberflächencharakterisierung mit Haze	128
6.3	Oberflächenmodifikation durch Ätzprozessanpassung	130
6.4	Zusammenfassung	133
7	Winkelaufgelöste Streulichtmessungen	135
7.1	Relevanz von winkelaufgelösten Streulichtmessungen für Solarzellen	135
7.1.1	Kurzschlussströme von Einfach-Solarzellen	135
7.1.2	Kurzschlussströme von Tandemsolarzellen	146
7.1.3	Einfluss der Textur auf die Kristallinität von μ -Si:H-Solarzellen	160
7.1.4	Zusammenfassung	161
7.2	Prozessregelung mit Rückführung von Streulichtmessungen	162
7.2.1	Regelung des Depositionsprozesses	163
7.2.2	Regelung des Ätzprozesses	169
7.2.3	Strom-Optimierung von Einfachzellen	170
7.2.4	Zusammenfassung	172
8	Zusammenfassung und Ausblick	173
9	Anhang	177
9.1	Literaturverzeichnis	177
9.2	Abbildungsverzeichnis	191
9.3	Tabellenverzeichnis	195
9.4	Abkürzungen	196
9.5	Vorab-Veröffentlichungen	201
9.6	Danksagungen	203



Energie & Umwelt / Energy & Environment
Band / Volume 223
ISBN 978-3-89336-978-2

